

東京都立大学工学部 正員 山本 樹

東京都立大学大学院 学生員○安井将文

1. まえがき

直交異方性板を対象とした既存の光弾性実験法には、林毅氏、川本、丹羽周氏などの研究がある。林の方法は、異方性材料に付与する接着剤としてはガラス布と光弾性材料であるエポキシ樹脂との強化複層材(F.R.P.)を使用して二次元光弾性実験を行なった。川本、丹羽はエポキシ樹脂と鋼線とのF.R.P.の表面に常温で皮膜を施し、その光弾性効果を調べる光弾性皮膜法を採用した。しかし既存の光弾性実験法には、材料の主弾性係数の選択にかなりの制限があり、また材料のひずみ感度が小さいため、応力判別に必要な繰次数を得るために大きな荷重が必要とし、鮮明な描写真が得難いこと、一様均質な材料の製作にかなりの困難が伴うなど、改良すべき点が多く残すところと思われる。これらを観察から、筆者は応力凍結法によって実験工事を新材料の開発と試行、その応用性を調査することとした。材料は、光弾性感度の高いエポキシ樹脂を中間層とし、その両外側層に異方性を与えるため、ナイロン繊維を挿入したオンドウイット板で、ナイロン繊維とエポキシ樹脂の2次軸位域が相違するところによって異方性を与えるとともに、そのひずみ状態を無繊維層である中間層に凍結させ、その層をストライスして光弾性実験が行なわれる。筆者は、この手法を応力凍結サンドウイット法と呼ぶ。

2. 応力凍結サンドウイット法とその光弾性解析法

(1) 弹性法則；図-1を参照して、直交異方性板の弾性対称軸1、2と角度θを成して直角で交わる直角座標軸x、yに関する弾性法則は、次式で表わされる。

$$E_x = C_{11} \sigma_x + C_{12} \sigma_y + C_{16} \tau_{xy}, \quad E_y = C_{11} \sigma_x + C_{22} \sigma_y + C_{26} \tau_{xy}, \quad \tau_{xy} = C_{16} \sigma_x + C_{26} \sigma_y + C_{66} \tau_{xy} \quad \dots \dots \quad (1)$$

$$\begin{aligned} C_{11} &= \frac{\cos^2 \theta}{E_1} + \frac{\sin^2 \theta}{E_2} + 4 \sin^2 \theta \cos^2 \theta \left(\frac{1}{E_1} - \frac{2}{E_2} \right), \quad C_{22} = \frac{\cos^2 \theta}{E_1} + \frac{\sin^2 \theta}{E_2} + 4 \sin^2 \theta \cos^2 \theta \left(\frac{1}{E_2} - \frac{2}{E_1} \right) \\ C_{12} &= \frac{1}{E_1} + \frac{2}{E_2} + \frac{2}{E_1} \left(\frac{1}{E_1} + \frac{1}{E_2} - \frac{1}{E_{12}} \right) \quad C_{12} = -\frac{V_{12}}{E_1} + 4 \sin^2 \theta \cos^2 \theta \left(\frac{1}{E_1} + \frac{1}{E_2} - \frac{2}{E_{12}} - \frac{1}{E_{11}} \right) \\ C_{16} &= 2 \sin \theta \cos^2 \theta \left(\frac{1+V_{12}}{E_1} \right) - 2 \sin^3 \theta \cos \theta \left(\frac{1+V_{12}}{E_2} \right) - \sin \theta \cos \theta \left(\cos \theta - \sin^2 \theta \right) \frac{1}{E_{11}} \\ C_{26} &= 2 \sin^3 \theta \cos \theta \left(\frac{1+V_{12}}{E_2} \right) - 2 \sin \theta \cos^2 \theta \left(\frac{1+V_{12}}{E_1} \right) + \sin \theta \cos \theta \left(\cos \theta - \sin^2 \theta \right) \frac{1}{E_{11}} \end{aligned} \quad (2)$$

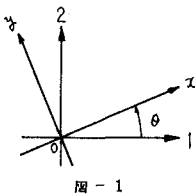


図-1

E_1, E_2, G_{12} ；弾性対称軸1、2に関するヤング率とせん断弾性係数、 V_{12}, V_{21} ；1、2軸に関するスボアリン比。

(2) 応力凍結サンドウイット法；図-2はエポキシ樹脂とナイロン繊維のF.R.P.板の断面図である。応力凍結サンドウイット法の中間層に関する光弾性法則は、「ストライスされた中間層の等色線は主ひずみ差一定の直の軌跡であり、等傾線は主ひずみ方向角一定の直の軌跡である。」と表わされる。ではある。



図-2

$$NA = d \beta_p (E_p - E_g) = \frac{E_p}{1 + \nu_p} d \alpha \cdot d (\epsilon_p - \epsilon_g) \quad \dots \dots \quad (3)$$

ν_p, E_p ；直角Aの等色線繰次数、 ν_g, E_g ；エポキシ樹脂の直角弾性域における応力感度とひずみ感度。 ν_p, E_p ；エポキシ樹脂の直角弾性域におけるスボアリン比とヤング率。 ϵ_p, ϵ_g ；直角Aの主ひずみ。 $(\epsilon_p > \epsilon_g)$

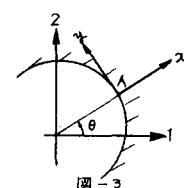


図-3

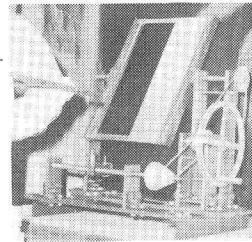
(3) 周辺応力解析法；図-3を参照して、物体の周辺直角Aの周辺応力は、次式で表わされる。

$$\bar{\sigma}_y = N_A / d \beta_a \sqrt{(C_2 - C_{22})^2 + C_{22}^2} \quad (4)$$

上式の右辺は、分母が式(2)の式で実験材料から定まる実験定数で、 N_A は周辺長 A の等色線構造である。従って、周辺応力は、その長さの構造次元、その長さの接線と主弾性軸との成す角 θ によつて決定される。

3 直交異方性板の製作と、そのゴム状弾性域における弾性的性質の解析

(1) 製作法；温度変化による初期応力を防止する目的で、高温での線膨張係数がエボキシ樹脂とほぼ等しいナイロン繊維を使用するが、あらかじめ熱処理により初期ひずみの除去されたナイロン繊維を型枠に、適当な張力を巻く。



(写真-1)。巻き付け完了後、型枠と表面にセロハンを巻いてガラス板によつて槽にエボキシ樹脂を流し込み加熱硬化させた。初期応力を防止するためには、エボキシ樹脂とナイロン繊維の線膨張係数の相違、よりいえば、エボキシ樹脂の硬化収縮を考慮して、巻き付け時の系の張力を定めればよい。この方法により製作された材料は、初期応力を無視し得るものであつた。

写真-1.

(2) 材料のゴム状弾性域における弾性的性質の解析法；FRP板が外力により変形するとき、ナイロン繊維とエボキシ樹脂の間には、相対的すみが生じないものと仮定する。また、せん断弾性係数の説動には、ナイロン繊維のせん断剛性の大きさにより、ナイロン繊維はせん断変形しないものと仮定する。弾性対称軸1, 2に関するヤング率の説動には、実際には、FRP板の単位微小要素に生ずる応力は、エボキシ樹脂の抵抗力と、ナイロン繊維の抵抗力の和であるが、このナイロン繊維の抵抗力を要素の表面に作用させ、微小要素はすべてエボキシ樹脂であるとして、エボキシ樹脂の応力とナイロン繊維の抵抗力の和が単位微小要素の応力であると仮定する。この仮定により、表面に抵抗力を有するエボキシ樹脂の微小要素は、実際のFRP板の微小要素と同一であると考えられる。

(A) ナイロン繊維方向のヤング率； E_1

図-4は、FRP板の弾性対称軸1, 2軸に平行な辺を有する微小要素ABCDの応力 σ_1 とエボキシ樹脂の応力 σ_e 、ナイロン繊維の抵抗力 F を示す。このナイロン繊維の抵抗力は次式で与えられる。

$$F = n E_f \epsilon_1 - n E_e \epsilon_1 = n (E_f - E_e) \epsilon_1 \quad \dots \dots \dots (5)$$

ここで、 E_f, E_e ；ナイロン繊維とエボキシ樹脂のヤング率。 $\epsilon_1, \epsilon_2, \sigma_e, \sigma_1$ ；要素に生ずる直ひずみの1, 2軸成分とエボキシ樹脂の直応力の1, 2軸成分。 n ；FRP板の微小単位断面積当たりのナイロン繊維の断面積。

各面へつりあいと、エボキシ樹脂に関するフックの法則を使用すると、繊維方向（弾性対称軸1）に関するヤング率 E_1 、ホリソン比 ν_1 は、次式となる。

$$E_1 = E_e + n (E_f - E_e), \quad \nu_1 = \nu_e \quad \dots \dots \dots (6)$$

(B) ナイロン繊維と直角方向のヤング率； E_2

(A)の場合と同じ力 F を考慮すると、力関係は図-5となる。各面でのつりあいとエボキシ樹脂に関するフックの法則により繊維と直角方向（弾性対称軸2）のヤング率 E_2 、ホリソン比 ν_2 は、次式となる。

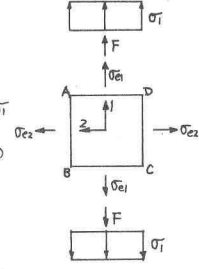


図-4.

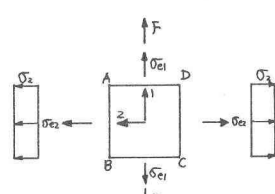


図-5

$$E_2 = E_1 E_0 / [E_1 - n(E_f - E_e) \nu^2], \quad \nu_2 = \nu E_0 / [E_1 - n(E_f - E_e) \nu^2] \quad \dots \dots (7)$$

(C) 弾性対称軸 1, 2 軸に関するせん断弾性係数: G_{12}

仮定により、図-6の微小要素 ABCD に含まれる繊維の中央の部分は、せん断変形しない。従って、弾性対称軸 1, 2 軸に関するせん断弾性係数は $G_{12} = G_e / (1-d) \times \nu_2 = 1 = G_e$; エポキシ樹脂のゴム状弹性域におけるせん断弾性係数 d ; FRP 枠の微小単位当たりのナイロン繊維の中。

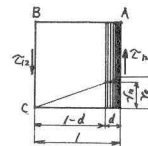


図-6

(D) 以上の各式に基づいて代入して得られた値と実測値をまとめて表-1に掲げる。なお、(A), (B)により得られた E_1 , E_2 , ν_2 , ν_1 の間に相反対原理が成立する。

4. 有円孔直交異方性板の一様引張実験

一様な引張を受けた有円孔直交異方性板の周辺部 A における周辺応力の理論解は、図-7を参照して。

$$\sigma_A = \frac{P}{E_2 N} \left\{ [(1+m) \cos^2 \delta + m \sin^2 \delta] \cos^2 \theta + \right. \\ \left. + n (1+n-m) \sin \delta \cos \delta \sin \theta \cos \theta + \right. \\ \left. + [\cos^2 \delta + (m-n) \sin^2 \delta] m \sin^2 \theta \right\} \quad (9)$$

$$z = 1 =$$

$$m = -\sqrt{E_2/E_1} \\ n = \sqrt{(\sqrt{E_2/E_1} - \nu_2) + E_2/G_{12}} \\ N = \frac{2n^2 \theta}{E_1} + \left(\frac{1}{G_{12}} - \frac{z^2 \nu_2}{E_2} \right) \sin^2 \theta \cos^2 \theta + \frac{\cos^4 \theta}{E_2} \quad (10)$$

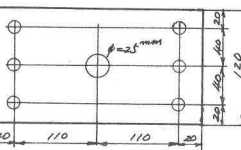
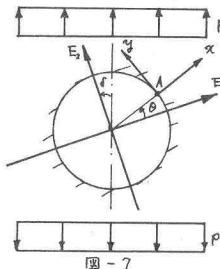


図-8

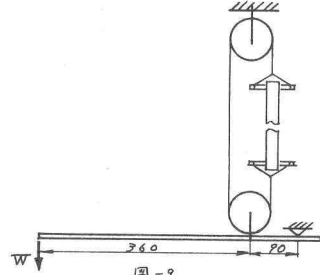
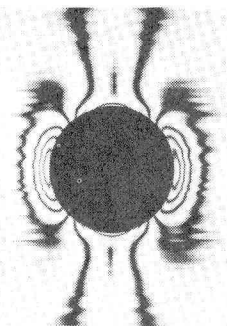
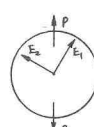
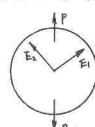
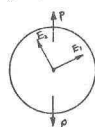
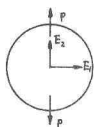
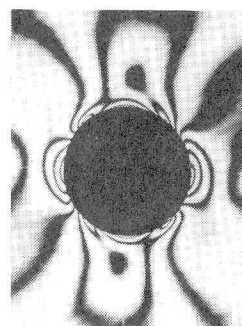


図-9

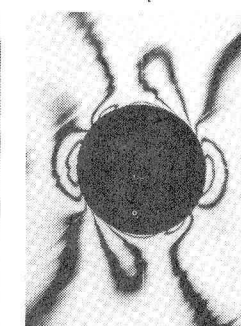
実験に使用された有円孔直交異方性板を図-8に示す。載荷方法を図-9に示す。図-7で荷重方向と弾性対称軸 2 軸のなす角 δ が、それと同 0° , 30° , 45° , 60° , 90° に対する実験結果の等色線図写真-2に各 δ に対する周辺応力の理論値と実験値を比較する図を図-10に示す。



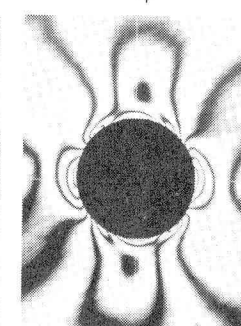
(a) $\delta = 0^\circ$



(b) $\delta = 30^\circ$



(c) $\delta = 45^\circ$



(d) $\delta = 60^\circ$

写真-2

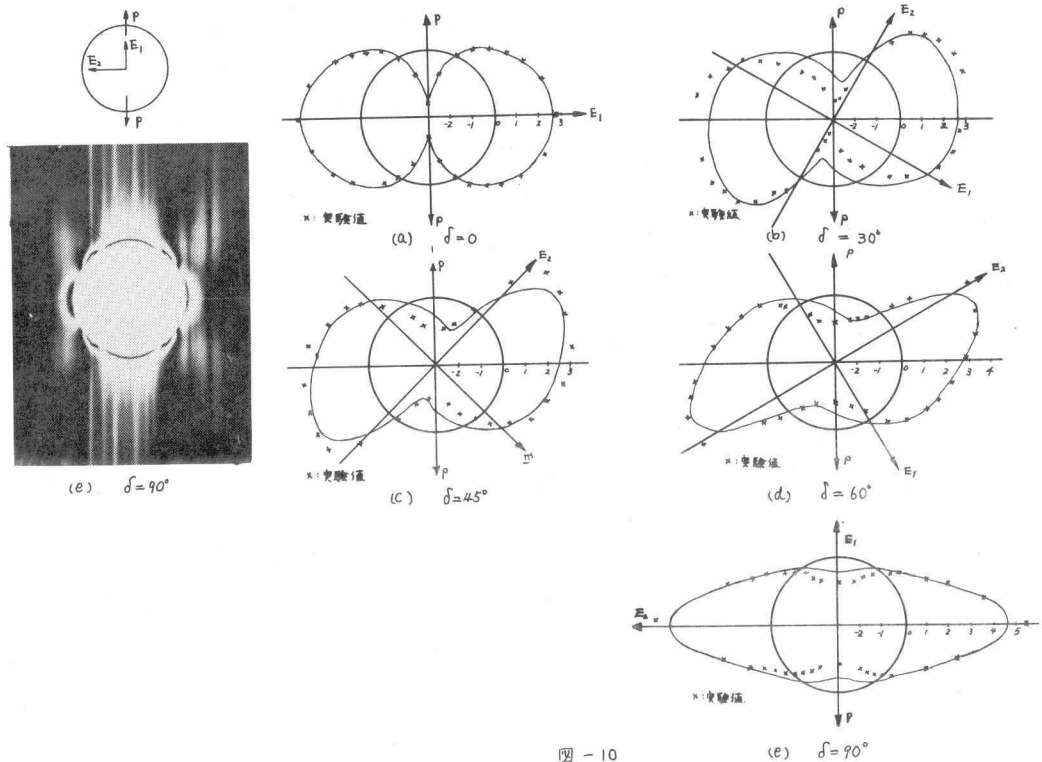


図-10

5. 結言

筆者の説明した材料のゴム状弾性域における各種弾性係数の計算式は、実験値に対し良い近似を与える。合成材の変形に対する力学的仮定が実際の現象を正しく表わしているものと考えられる。しかもその有円孔直交異方性板の実験結果から、本実験法により開発された材料が十分直交異方性板として使用しうることが明らかにされた。

この方法によれば、均質でしかも初期応力の無視し得る材料の製作が比較的容易になり、また、弹性主方向の弹性的な状態もかなりの範囲に任意に選定することができる。しかも光弹性実験においては鮮明な縮写真がえられるなど、利点が挙げられるが、応力凍結法の手法を利用するといふ間接的実験法による難点が存在することも認めざるを得ない。しかし、このため荷重装置、その他も簡略化することができるであろう。対象によって材料の使用法を考えれば十分川本、丹羽両氏、林氏の実験法を補う方法としての利用性が認められよう。